

มหาวิทยาลัยบูรพา
Burapha University

ภาคผนวก

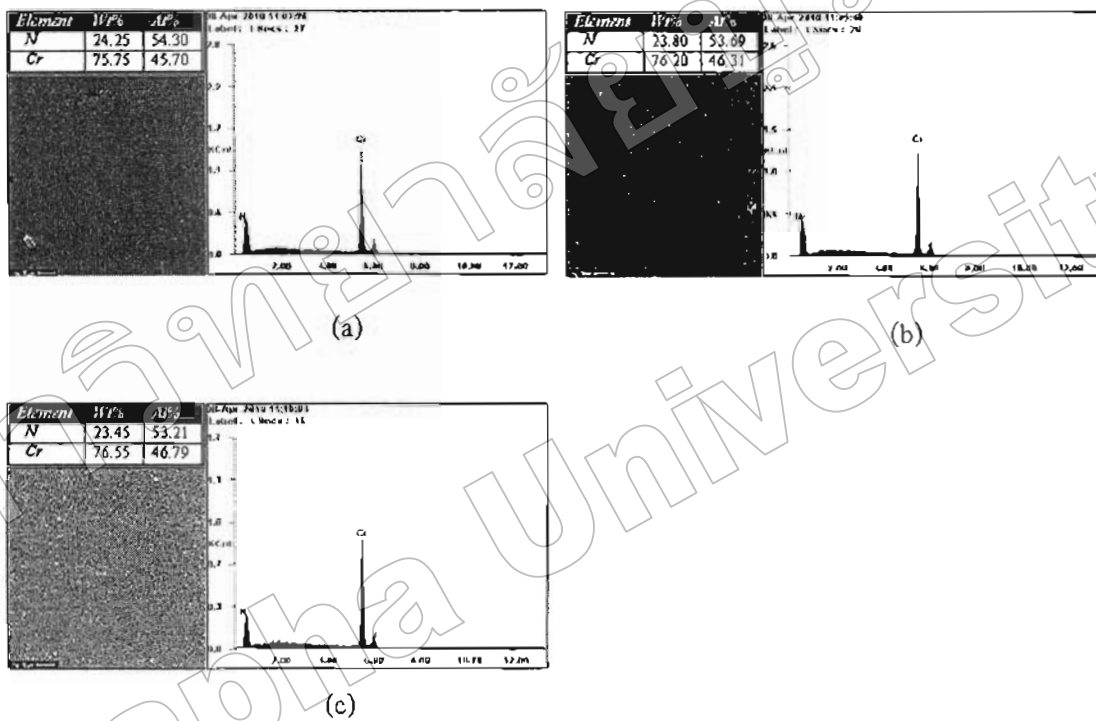
ภาควิชาเคมี

องค์ประกอบของธาตุทางเคมีของพิล์มบาง โครงเมี่ยม ในไตรด์

การคำนวณหาค่าคงที่เหลตทิช (Lattice constants) และขนาด��ลีก (Crystallite size)

องค์ประกอบของธาตุทางเคมีของฟิล์มบางโคร์เมียมในไตรด์ ผลของความดันย่อยแก๊สในโตรเจน

การศึกษาองค์ประกอบของธาตุทางเคมีของฟิล์มบางโคร์เมียมในไตรด์ โดยนำฟิล์มบางโคร์เมียมในไตรด์ ศึกษาอัตราส่วน Cr : N โดยภาพที่ ก-1 (a)-ภาพที่ ก-1 (c) แสดงองค์ประกอบของธาตุทางเคมีของฟิล์มบางที่เคลือบด้วยความดันย่อยแก๊สในโตรเจน เท่ากับ 25% 50% และ 75% ตามลำดับ

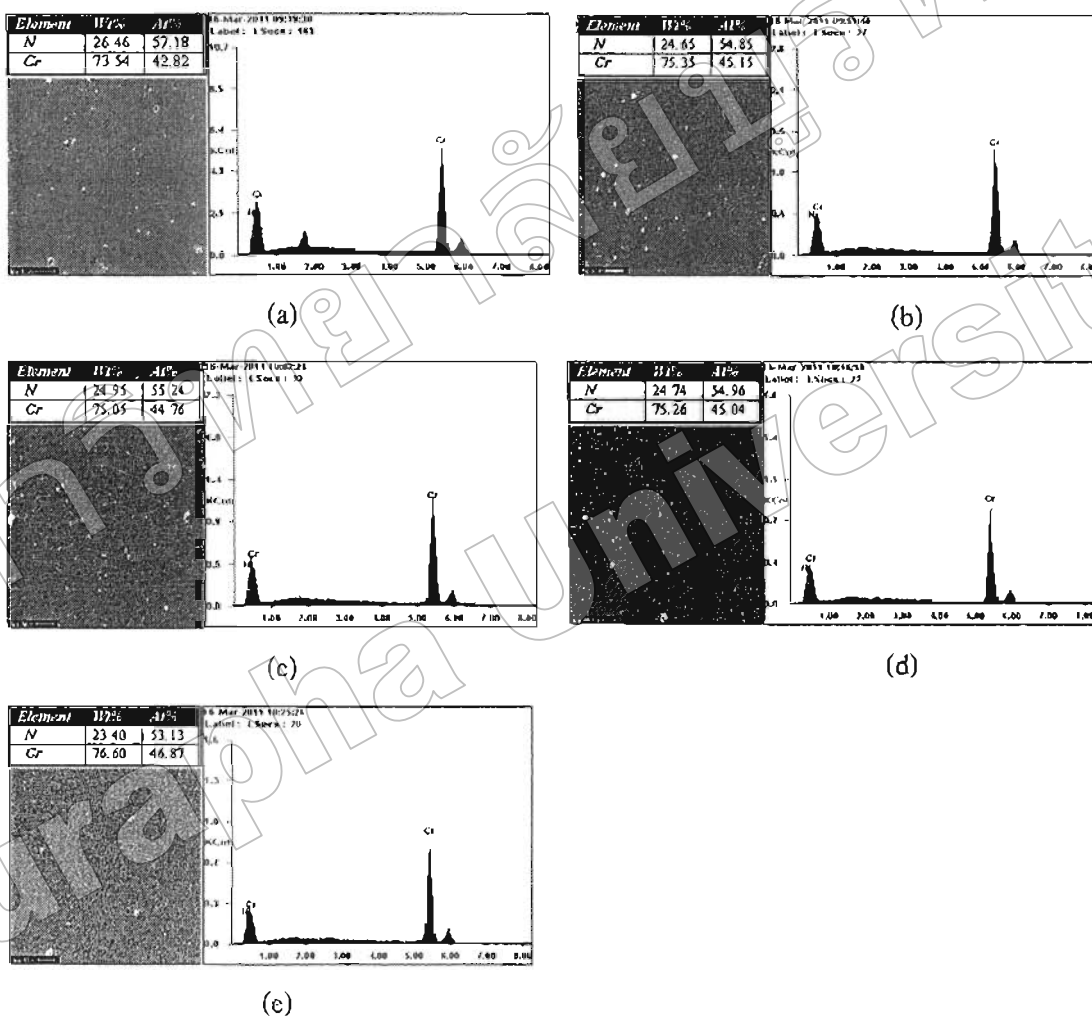


ภาพที่ ก-1 องค์ประกอบของธาตุทางเคมีที่วิเคราะห์ด้วยเทคนิค EDX ของฟิล์มโคร์เมียมในไตรด์ เมื่อเคลือบด้วยความดันย่อยแก๊สในโตรเจนต่าง ๆ

- (a) ความดันย่อยแก๊สในโตรเจน เท่ากับ 25%
- (b) ความดันย่อยแก๊สในโตรเจน เท่ากับ 50%
- (c) ความดันย่อยแก๊สในโตรเจน เท่ากับ 75%

ผลของความหนา

การศึกษาองค์ประกอบของชาตุทางเคมีของพิล์มบาง โครเมี่ยมในไตรด์ โดยนำพิล์มบาง โครเมี่ยมในไตรด์ ศึกษาขั้ตราส่วน Cr:N โดยภาพที่ ก-2 (a)-ภาพที่ ก-2 (e) แสดงองค์ประกอบของชาตุทางเคมีของพิล์มบางที่เวลาเคลื่อน เท่ากับ 60 นาที 90 นาที 120 นาที 150 นาที และ 180 นาที ตามลำดับ

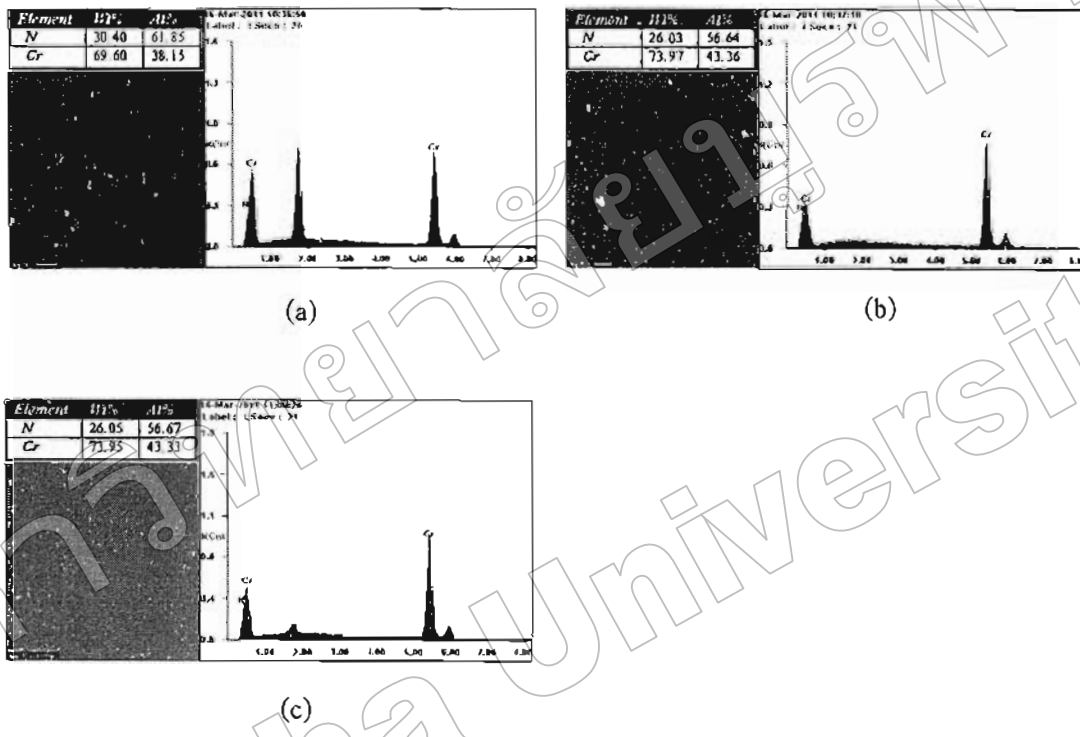


ภาพที่ ก-2 องค์ประกอบของชาตุทางเคมีที่วิเคราะห์ด้วยเทคนิค EDX ของพิล์มโครเมี่ยมในไตรด์ เมื่อเคลื่อนด้วยเวลาต่าง ๆ

- (a) เวลาเคลื่อนเท่ากับ 60 นาที
- (b) เวลาเคลื่อนเท่ากับ 90 นาที
- (c) เวลาเคลื่อนเท่ากับ 120 นาที
- (d) เวลาเคลื่อนเท่ากับ 150 นาที
- (e) เวลาเคลื่อนเท่ากับ 180 นาที

ผลของกำลังไฟฟ้า

การศึกษาองค์ประกอบของธาตุทางเคมีของฟิล์มบาง โครเมียมในไตรด์ โดยนำฟิล์มบาง โกรเมียมในไตรด์ ศึกษาอัตราส่วน Cr:N โดยภาพที่ ก-3 (a)-ภาพที่ ก-3 (c) แสดงองค์ประกอบของ ธาตุทางเคมีของฟิล์มบางที่เคลือบด้วยกำลังไฟฟ้าเท่ากับ 160 W 260 W และ 360 W ตามลำดับ



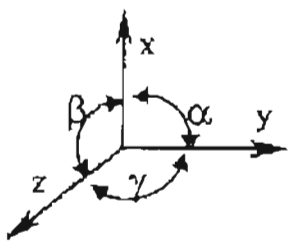
ภาพที่ ก-3 องค์ประกอบของธาตุทางเคมีที่วิเคราะห์ด้วยเทคนิค EDX ของฟิล์มโกรเมียมในไตรด์ ที่เคลือบด้วยกำลังไฟฟ้าต่าง ๆ

- กำลังไฟฟ้าเท่ากับ 160 W
- กำลังไฟฟ้าเท่ากับ 260 W
- กำลังไฟฟ้าเท่ากับ 360 W

การคำนวณหาค่าคงที่ແลติกซ์ (Lattice Constants)

โครงสร้างผลึก (Crystal Structure)

ในการศึกษาโครงสร้างผลึกที่เข้าใจง่ายขึ้นเราจะกำหนดแกนสมมุติและมุนเข็นภายในรูปผลึกซึ่งมีอะตอมอยู่ตามเหลี่ยมนูนต่าง ๆ ในทิศทาง 3 มิติ (ภาพที่ ก-4 ประกอบ) โดยให้



a, b, c เป็นระยะห่างระหว่างอะตอม เรียกว่า spacing หรือ space lattice

นิหน่วยเป็นแองกstrom (Å) โดยที่ 1 Angstrom = 10^{-10} m.

x, y, z เป็นแกนสมมุติอ้างอิงโดยมีจุดกำเนิด O (Origin) อยู่ตรงตำแหน่งอะตอมหนึ่ง ๆ ของหน่วยเซลล์หนึ่ง เรียกว่า ลักษณะเวคเตอร์ (Lattice vector)
α, β, γ เป็นมุมที่เกิดขึ้นภายในผลึกอยู่ระหว่างแกน x, y, z

ภาพที่ ก-4 แกนสมมุติและมุนเข็นภายในรูปผลึก

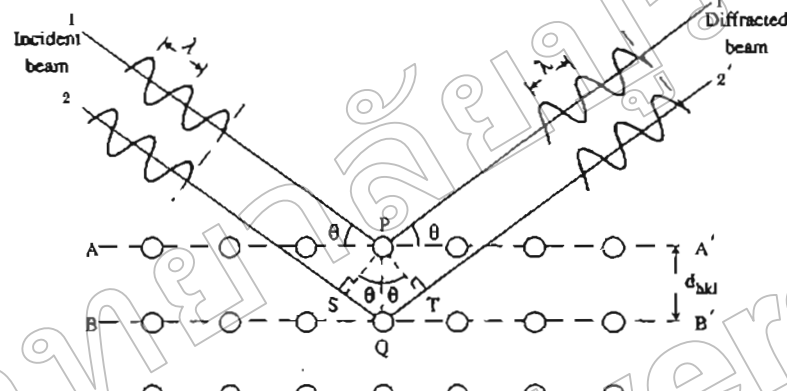
สเปซแลติกซ์ (Space Lattice) มีอยู่ทั้งหมด 230 แบบด้วยกัน แต่จะสรุปลงเหลือเพียง 14 แบบใหญ่ ๆ ด้วยกันและมีรูปแบบที่สอดคล้องกับโครงสร้างระบบผลึก (Crystal Structure) ได้ 7 ระบบด้วยกันคือ

1. ไตรклиนิก (Triclinic) แกนทั้ง 3 แกนยาวไม่เท่ากัน แกนทั้ง 3 แกนทำมุมไม่เท่ากัน และไม่ตั้งฉากกัน
2. โมโนคลินิก (Monoclinic) แกนทั้ง 3 แกนยาวไม่เท่ากัน มีแกน 2 แกนที่จะทำมุมตั้งฉากกัน แต่แกนที่ 3 ไม่ตั้งฉากกัน
3. ออร์ทอร์โธมิ尼克 (Orthorhombic) หรือโอลิมบิก (Rhomboic) แกนทั้ง 3 แกนยาวไม่เท่ากัน แต่ทุกแกนจะทำมุมตั้งฉากกันและกัน
4. เตตراجอนอล (Tetragonal) มีแกน 2 แกนยาวเท่ากันแต่อีกแกนหนึ่งจะสั้น หรือบางกว่า แกนทั้ง 3 แกน ทำมุมตั้งฉากกันและกัน
5. โอลิบอร์โซหีดรอล (Rhombohedral) แกนทั้ง 3 แกนยาวเท่ากัน แกนทั้ง 3 แกนทำมุมเท่ากัน แต่ทั้ง 3 มุมไม่เป็น 90 องศา
6. เฮกซากอนอล (Hexagonal) มีแกน 3 แกนอยู่ในแนวระนาบ (Plane) ทำมุมภายในเท่ากัน 120 องศา ต่อกัน แกนที่ 4 ทำมุม 90 องศา กับแนวระนาบ (Plane) แกน 3 แกนเร็วกะเท่ากัน แต่จะไม่เท่ากับแกนที่ 4
7. สี่เหลี่ยมจตุรัส (Cubic) แกนทั้ง 3 แกนยาวเท่ากันและตั้งฉากซึ่งกันและกัน

ระบบผลึก	ແລດທີ່				
ໄຕຣຄລິນິກ (triclinic)	$\alpha, \beta, \gamma \neq 90^\circ$				
ໂມໂນຄລິນິກ (monoclinic)	simple	centered			
	$\alpha = 90^\circ$ $\beta, \gamma \neq 90^\circ$	$\alpha = 90^\circ$ $\beta, \gamma \neq 90^\circ$			
ອອർໂໂຮອນນິກ (orthorhombic)	simple	base-centered	body-centered	face-centered	
	$a \neq b \neq c$	$a = b \neq c$	$a \neq b \neq c$	$a \neq b \neq c$	
ເສກ້າໂກນອດ (hexagonal)	$a = c$				
ຮອນໂບຮືກຮັດ (rhombohedral) (trigonal)	$\alpha, \beta, \gamma \neq 90^\circ$				
ເຕຕະໂກນອດ (tetragonal)	simple	body-centered			
	$a \neq c$	$a \neq c$			
ຄົວນິກ (isometric)	simple	body-centered	face-centered		
	$a = b = c$	$a = b = c$	$a = b = c$		

โดยปกติแล้ว โครงเมี่ยมในไตรด์บริสุทธิ์มีโครงสร้างผลึกแบบคิวบิก ออร์โทออมบิกและเอกซ์โซนอล ในงานวิจัยนี้พบว่าพื้นที่ของโครงเมี่ยมในไตรด์ที่เคลื่อนด้วยระบบเรียล็อกติฟ ดีซีแมกนีตอรอน สปีดเตอริง มีโครงสร้างผลึกแบบคิวบิก

กฎของเบร็กก์ (Bragg's law)



ภาพที่ ก-5 แบบจำลองการเรียงตัวของอะตอม

$$2d_{hkl} \sin \theta = n\lambda \quad (\text{ก-1})$$

เมื่อ d_{hkl} เป็นระยะห่างระหว่างระนาบผลึก ($h k l$)

θ เป็นมุมต่อกำแพงและมุมสะท้อน เมื่อวัดจากแนวระนาบ (ในหน่วย radians)

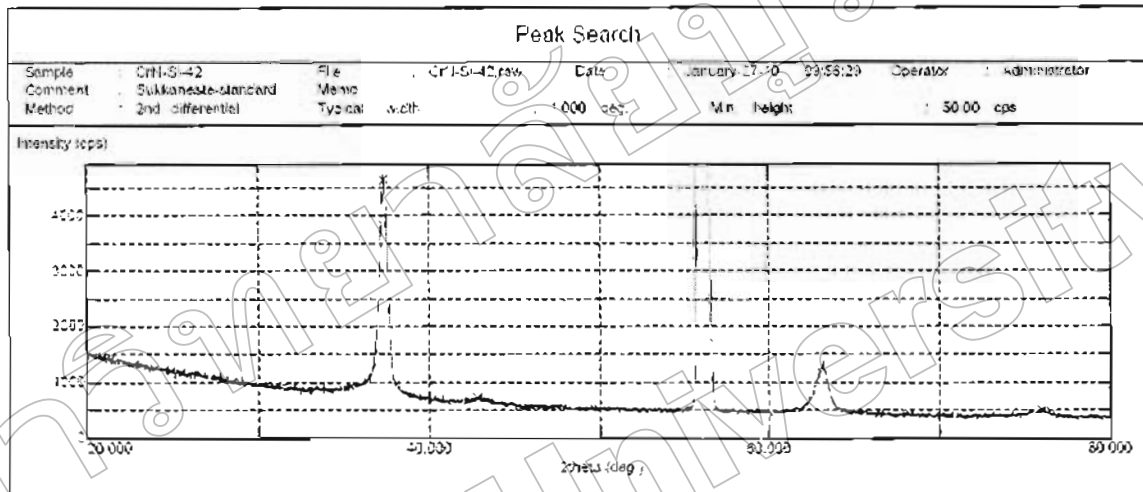
n ลำดับการสะท้อน

λ ความยาวคลื่น ($\lambda = 1.5418 \text{ \AA}$)

สูตรคำนวณระยะห่างระหว่างรูนาบในระบบผลึกแบบคิวบิก

$$\text{Cubic} ; \quad \frac{l}{d_{hkl}^2} = \frac{h^2 + k^2 + l^2}{a^2} \quad (\text{ก-2})$$

ตัวอย่าง ก-1 การคำนวณหาระยะห่างระหว่างรูนาบผลึก (d -spacing) ที่รูนาบต่าง ๆ



ภาพที่ ก-6 รูปแบบการเดี่ยวบนรังสีเอกซ์ของพิล์มบาง โครเมียม ในไตรค์

ตารางที่ ก-1 รูปแบบการเดี่ยวบนรังสีเอกซ์ของพิล์มบาง โครเมียม ในไตรค์

No.	2 Theta	Intensity	$h \ k \ l$	d -spacing
1	37.380	4635	1 1 1	2.4057
2	63.200	1275	2 2 0	1.4712

1. หาระยะห่างระหว่างระนาบผลึก (d -spacing) ที่ระนาบต่างๆ

กำหนด $\lambda = 1.5418 \text{ \AA}$; มุม θ หน่วยเป็น เรเดียน

แทนค่ามุม θ ในหน่วยเรเดียนในสมการที่ ก-1 จะได้ d -spacing ที่ระนาบ ดังนี้

$$2d_{hkl} \sin \theta = n\lambda \quad (\text{ก-1})$$

$$\text{ที่ CrN (111); } d_{hkl} = 2.4057$$

2. หา Lattice constant

cubic;

$$\frac{1}{d_{hkl}^2} = \frac{h^2 + k^2 + l^2}{a^2} \quad (\text{ก-2})$$

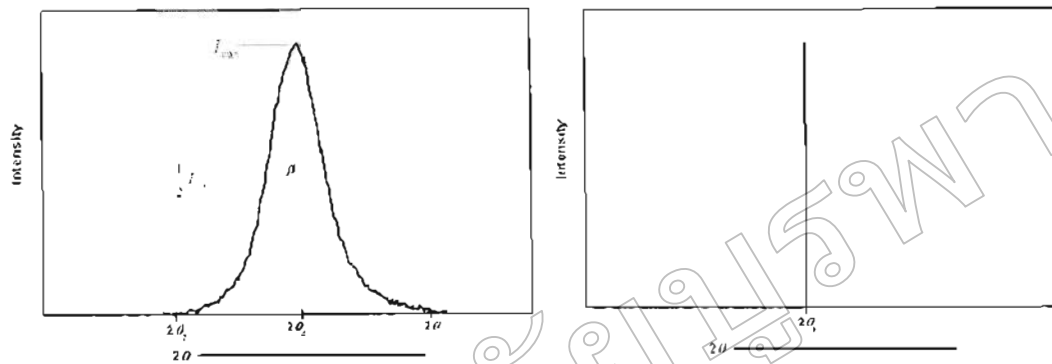
$$\text{ที่ CrN (111); } a^2 = (h^2 + k^2 + l^2) \cdot d_{hkl}^2$$

$$a = \sqrt{h^2 + k^2 + l^2} \cdot d_{hkl}$$

$$a = \sqrt{3} \cdot (2.406)$$

$$a = 4.17 \text{ \AA}$$

การคำนวณขนาดผลึก (Crystallite size)



ภาพที่ ก-7 Effect of crystallite size on diffraction curves (schematic)(Cullity, 1978)

$$\text{Seherrer Equation} \quad L = \frac{k\lambda}{\beta \cos \theta_\beta} \quad (\text{ก-3})$$

เมื่อ L คือ ขนาดของผลึกพลีมบาง โคร์เมิ่ง ในไตรต์หน่วย นาโนเมตร (nm)

k คือ ต่ำงที่เท่ากับ 0.9

λ คือ ความยาวคลื่นของรังสีเอกซ์ ($\text{CuK}_\alpha = 1.5406 \text{ \AA}$)

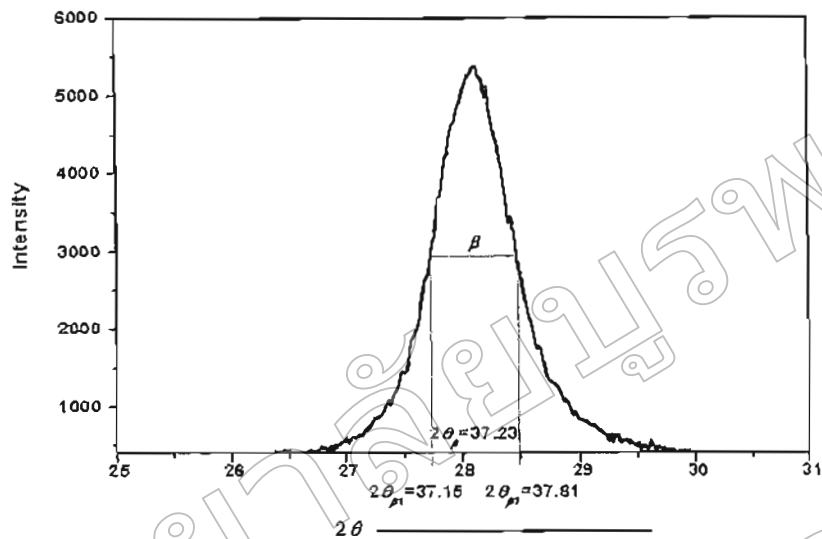
θ คือ ครึ่งหนึ่งของมุมตรงจุดศูนย์กลางพีก หน่วย เ雷เดียน

β คือ ความกว้างครึ่งหนึ่งของพีกที่มีค่าความเบี้มสูงสุด

(Full width at half maximum; FWHM) ซึ่งคำนวณได้จากสมการ ก-4

$$\beta = \frac{2\theta_{\beta_2} - 2\theta_{\beta_1}}{2} \quad (\text{ก-4})$$

ตัวอย่าง ก-2 การคำนวณนาคผลลัพธ์



ภาพที่ ก-8 การหาความกว้างครึ่งหนึ่งของพิกที่มีค่าความเข้มสูงสุด

วิธีคำนวณ หาค่า β จากสมการ ก-4

$$\beta = \frac{2\theta_{\beta_2} - 2\theta_{\beta_1}}{2}$$

$$\beta = \frac{37.61 - 37.15}{2} = 0.230 \text{ เรเดียน}$$

นำค่า β แทนในสมการ ก-3 จะได้

$$L = \frac{k\lambda}{\beta \cos \theta_\beta}; \cos \theta_\beta = 0.95 \text{ เรเดียน}$$

$$L = \frac{(0.9)(0.15406 \text{ nm})}{(0.230)(0.95)} = 36.44 \text{ nm}$$

ดังนั้น ผลลัพธ์นี้นาคเท่ากับ 36.44 nm

ภาควิชานวัตกรรม
ผลงานวิจัยที่ได้รับการตีพิมพ์เผยแพร่



สาขาวิชาศาสตร์

การประชุมทางวิชาการร่วมมหาวิทยาลัยเกษตรศาสตร์ ครั้งที่ 49

ผลของความดันย่อยแก๊สในโตรเจนต่อโครงสร้างของฟิล์มน้ำงโครเมียมในไคร็ตที่เคลือบด้วย

วิธี รีแอคติฟ ดีซี แมกนีตโรน สปัตเตอริ่ง

Effect of N₂ Partial Pressure on the Structure of Chromium Nitride Thin Film

Deposited by Reactive DC Magnetron Sputtering

นภรณ์ วนทนห์^{1,2}, นิรันดร์ วิทิตอนันต์^{1,2} และ สุรเชิง ไชยคุณ^{1,2}Kapooka Wanitavee^{1,2}, Nirunk Witit-onan^{1,2} and Surasingh Chaiyakun^{1,2}**บทคัดย่อ**

งานวิจัยนี้ศึกษาผลของความดันย่อยแก๊สในโตรเจนที่มีต่อโครงสร้างของฟิล์มน้ำงโครเมียมในไคร็ตที่รีแอคติฟ ดีซี แมกนีตโรน สปัตเตอริ่ง เพื่อศึกษาผลของความดันย่อยแก๊สในโตรเจนที่มีต่อโครงสร้างของฟิล์มน้ำงโครเมียม โดยแบ่งค่าความดันย่อยของแก๊สในโตรเจน (P_{N_2}) ในช่วง 25% ถึง 75% กำหนดให้ความดันรวมของแก๊ส (P_t) และกำลังไฟฟ้าคงที่ เท่ากับ 4.0×10^{-3} mbar และ 312 W ตามลำดับ นำฟิล์มที่ได้เป็นเคราะห์นี้โครงสร้างผิวฟิล์มโดยใช้เทคนิค XRD ศึกษาลักษณะพื้นผิวและ ความหนาตัวอย่างเทคนิค AFM ผลการศึกษาพบว่า ฟิล์มน้ำงโครเมียมที่เคลือบได้มีโครงสร้างผลึกของโครงเมียมในไคร็ต ระยะ (111), (220) และ (311) โดยมีความหนาของฟิล์มอยู่ในช่วง 1160 นาโนเมตรถึง 2070 นาโนเมตร ขนาดของผลึกอยู่ ในช่วง 30 นาโนเมตรถึง 36 นาโนเมตร และความหยาบผิว (R_a) อยู่ในช่วง 18 นาโนเมตรถึง 37 นาโนเมตร

Abstract

Chromium nitride thin films were deposited on silicon wafer substrates by reactive DC magnetron sputtering technique. The effect of N₂ partial pressure on the structure of films was investigated. The N₂ partial pressure (P_{N_2}) varied from 25% to 75%. The total pressure (P_t) and power were kept constant at 4.0×10^{-3} mbar and 312 W, respectively. The crystal structure was characterized by XRD. The surface morphologies and thickness were evaluated by AFM. The XRD results showed peaks of chromium nitride (111), (220) and (311) planes. The film's thickness was varied from 1160 nm to 2070 nm. The crystal size was 30 nm to 36 nm and surface roughness (R_a) was changed from 18 nm to 37 nm.

Keyword: Hard coating, thin film, CrN film, reactive magnetron sputtering**Email address:** mouskyraing@hotmail.com

ภาควิชาฟิสิกส์ มหาวิทยาลัยเกษตรศาสตร์ ชั้นปีที่ 20131

Department of Physics, Burapha University, Chonburi, 20131

ห้องปฏิบัติการวิศวกรรมศาสตร์นานาวิทยาศาสตร์ที่ 2 ชั้น 4 ห้อง 402

สำนักพัฒนาบัณฑิตศึกษาและวิจัย มหาวิทยาลัยเกษตรศาสตร์และเทคโนโลยี จ.ชลบุรี สำนักงานคณะกรรมการการอุดมศึกษา

โทรศัพท์: ๐๓๘-๑๐๓-๐๘๔ โทรสาร: ๐๓๘-๑๐๓-๐๘๑

Plasma for Surface Sciences Laboratory, Thailand Center of Excellence in Physics

Science and Technology Postgraduate Education and Research Development Office (PERDO), CME

Tel: 038-103-081 Fax: 038-103-081

คำนำ

ปัญหาอย่างหนึ่งของเครื่องจักรและอุปกรณ์ต่างๆ ในโรงงานอุตสาหกรรม คือข้าวya ใจ้งานที่จ้ากัด หมายเหตุนี้ใน การแก้ไขข้าวya ลักษณะ กារปรับปรุงผิวชั้นงานโดยการหลีบด้วยชั้นเคลือบหรือสารเคลือบที่ เกาะมาด้วยชั้นที่จะยืดด้วยการใช้งานมากคราว หรือจักรและอุปกรณ์นี้ได้ หลังจากนี้ ไม่สามารถใช้งานได้ ถ้าเป็นชั้นเคลือบ แข็งหัวนี้ที่ได้รับความนิยมเนื่องจากมีสมบัติเชิงกลและโครงสร้างที่ดี มีค่าความเสื่อมประมาณ 20-25 GPa (Bertrand et al., 1997) ที่เกิดภาวะผิวใช้งานและทนต่อการขัดขีด (Fornières et al., 2006) บนอุปกรณ์ผิวชั้นงาน ทางกิจกรรมชีวภาพที่เด่นที่สุดหนึ่งในสิ่งที่สูงได้คือที่พื้นที่ความประจุหรือความเสียดทานที่ Zengqian et al., 2003) ผิวสัมผัสมีมูลไปต่อตัวซึ่งเป็นจุดศักย์สูงที่ได้รับความสนใจในปัจจุบัน

โดยทั่วไปอาจพบพิลับบางโครงสร้างในไครสต์ได้ใน 2 รูปแบบคือ Cr/N (Face-centered cubic; fcc) และ Cr₃N (Hexagonal closest packing; hcp) โดยที่รูปแบบ Cr₃N มีความนิ่งมากเมื่อเทียบกับไครสต์ทั่วไป (Broszeit et al., 1999) สำหรับพิลับ Cr₃N มีความต้านทานการซึมเข้าของ Cr₃N แคม์ต่อสันประดิษฐ์ที่กว้างเช่นเดียวกับ Cr₂N (Kyung et al., 2000) การเบรี่ยพิลับไครสต์เมื่อถูกเผาในไครสต์ มีผลยังวิธี เช่น การเหลือขوبดภัย ระหว่างเบบเพลาช (Evaporation) หรือ วงโคจรโคโรกาช (Corotating Arc) (Liu et al., 1995) และที่นี่ยังใช้กันใน ภาคอุดสานกรามคือ การคลึงบัดดี้บอร์ด แมกน็อดลิฟ เรซิเดนท์ แมกน็อดลิฟ อะบัดเดอร์ (reactive DC magnetron sputtering) (Zhang et al., 2008)

ฉบับที่ ๑๖๘

เพื่อปรับเปลี่ยนในโครงสร้างวัสดุเป็นตัวรับด้วยวิธี รีแอคทีฟ ลีซี แมกนีตอกรอน บีดเดอร์ริ่ง จากเครื่องรีดห้องสูญญากาศแบบปั๊บต่อตัว (Figure 1) ขั้นตอนการเคลือบเริ่มจากนำแผ่นเชลิคิกอนที่ห้ามความชื้นออกแล้ว นำเข้าพอกนร่องรับเข้าในงานไนกานเมสสูญญากาศ ให้ห่างจากหน้าปั๊บส่วนเหล็ก燕尾ท่ากัน 15 cm ลดความตันในห้องสูญญากาศให้ได้ค่าเรียบตันเพียง (Inert pressure) เท่ากับ 5×10^{-3} torr ในการเทื้อช้อมีส์มูทเทาดูดำหกหนาน ความตันของ (P) เท่ากับ 1.0×10^{-3} mbar และกำลังไฟฟ้า เท่ากับ 312 W คงที่ต่อผลการเคลือบ ใช้เวลาเคลือบ 45-90 นาที สำหรับตัวแบนที่ใช้ในการศึกษาครั้นี้ คือ หวานดับบลลี่อยแก็ตต์ในตรารูน (P_{tr}) โดยประมาณ 3 ค่า ต่อ 3% 50% และ 75% หลังการเคลือบผ้าพิล์มกันเสื่อมสภาพได้ไปวิเคราะห์โครงสร้างผ่าน แสงส่องประพันผ่านห้องเครื่องรังสี X-ray Diffractometer (XRD) ของ Rigaku รุ่น Rint 2000 และ เครื่อง Atomic Force Microscope (AFM) ของ Bruker Instrument Inc รุ่น Nano Scope IV ตามลำดับ

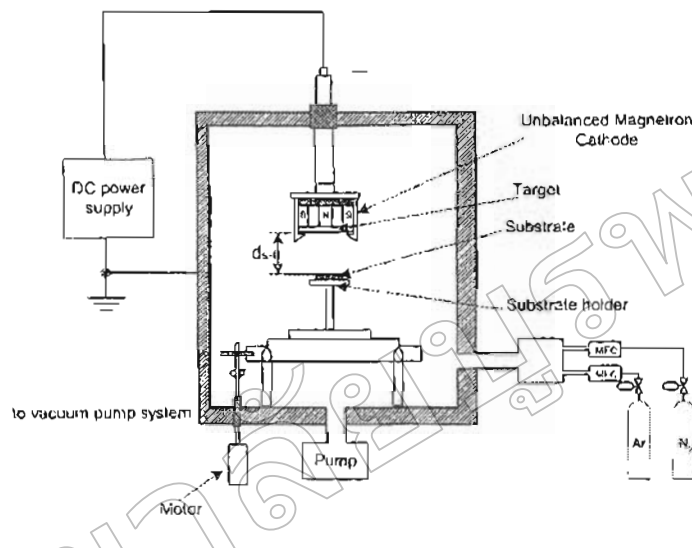


Figure 1. Diagram of reactive DC magnetron sputtering system

ผลการทดลองและวิเคราะห์

ผลของการดันย้อนแก๊สในต่อเรժอนต่อโครงสร้างผลึก

Figure 2 แสดงรูปแบบการเลี้ยวเบนรังสีเอกซ์ของพิสัยบังคับที่ความดันย้อนแก๊สในต่อเรժอนต่างๆ พบว่า แบบการเลี้ยวเบนรังสีเอกซ์ที่มี 37.5° , 6° และ 76.2° มีอัตราการเปลี่ยนทิศทางที่บันทุปแบบการเลี้ยวเบนรังสีเอกซ์ตามมาตรฐาน JCPDS หมายเลข 11-0065 ตรงกับโครงสร้างในต่อเรժอน (111) (220) และ (311) ตามลำดับ โดยที่รัฐนาบ (111) ทำางเข้มข้องรูปแบบการเลี้ยวเบนรังสีเอกซ์สูงที่สุดเมื่อความดันย้อนแก๊สในต่อเรժอนเพิ่มจาก 25 % เป็น 50% และ 75% ตามลำดับ ส่วนที่รัฐนาบ (220) ความเข้มข้องรูปแบบการเลี้ยวเบนรังสีเอกซ์ที่ต่ำสุดเมื่อความดันย้อนแก๊สในต่อเรժอนเพิ่มขึ้น และที่รัฐนาบ (311) ความดันย้อนแก๊สในต่อเรஜอน 25% และ 50% รูปแบบการเลี้ยวเบนรังสีเอกซ์มีลักษณะเป็นโดมใกล้เคียงกัน เมื่อความดันย้อนแก๊สในต่อเรஜอนเพิ่มขึ้นเป็น 75% ความเข้มข้องรูปแบบการเลี้ยวเบนรังสีเอกซ์ของรัฐนาบ (311) มีผ้าผลลัพธ์ เมื่อย่นรูปแบบการเลี้ยวเบนรังสีเอกซ์มาค่านวนทางขนาดของผ้าลาม (Crystal size) จากสมการของ Scherrer ดังสมการ (1)

$$l = \frac{0.9\lambda}{B \cos \theta} \quad (1)$$

เมื่อ l คือขนาดของผ้าลาม nm และ λ คือความยาวคลื่นของรังสีเอกซ์ Å คือความกว้างพื้นที่ดำเนินของรังสีที่มีขนาดของความเข้มข้องรูปแบบการเลี้ยวเบนรังสีเอกซ์สูงสุด (FWHM) และ θ คือมุมที่มีความเข้มข้องรังสีเอกซ์สูงสุด พบร่วมลักษณะของพิสัยบังคับในต่อเรஜอนในต่อเรஜอนในต่อเรจอนในต่อเรจอนเพิ่มจาก 25% เป็น 50% และ 75% ตามลำดับ

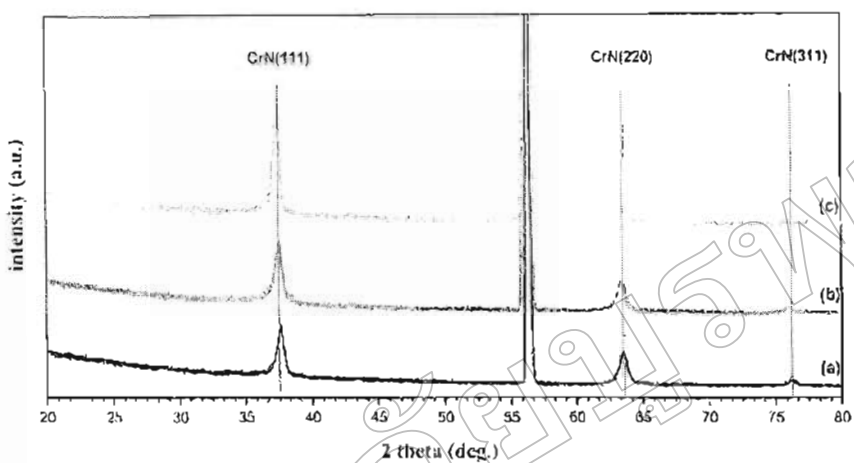


Figure 2 X-ray diffraction patterns of as-deposited CrN thin films produced at different N₂ partial pressure ratio (%) (a) 25% (b) 50% (c) 75%

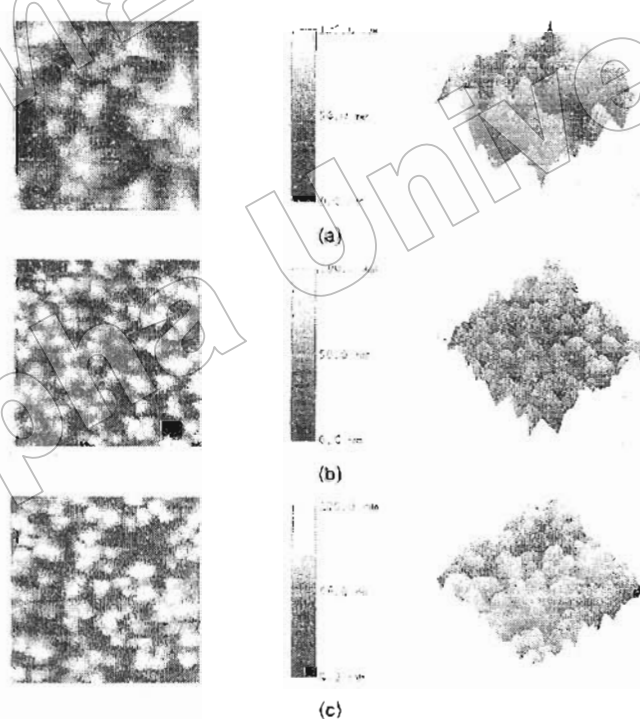


Figure 3 AFM image of CrN thin films deposited at N₂ partial pressure (%): (a) 25% (b) 50% (c) 75%

ผลของความต้นที่อยู่ภัยส์ในโทรศัพท์มือถือ

Figure 3 แสดงค่าเฉลี่วน้ำหนักแบบ 2 มิติ และ 3 มิติของฟิล์มบางโครงสร้างในตรรศเมื่อเคลือบอุ่น ความต้านทานอย่างต่อเนื่องเจนต่างๆ จากเทคนิค AFM พบว่าฟิล์มบางโครงสร้างในตรรศที่เคลือบด้วยความตันยกยับแก่สูงโดยรวม 25% การจัดเรียงของมิติเมืองขนาดใหญ่กระจายเต็มพื้นที่ผิวของฟิล์ม เมื่อการตันยับยังคงต่อเนื่องเพิ่มขึ้นเป็น 50% และ 75% งานมีขนาดเล็กลง

ขนาดของผลัก ความหมายผิวเผือก และความหนาของฟิล์มบางคราเมียในไทรต์ ดังแสดงใน Table 1 จากการศึกษาพบว่าเมื่อความดันอย่างเกินในไตรเจนเพิ่มขึ้นจาก 25% เป็น 50% และ 75% เกรนน้ำหนาดเพิ่มขึ้น ส่วนความหนาและความหมายผิวเผือกของฟิล์มน้ำค่าคงที่โดยที่พัฒนาในไทรต์ที่เคลือบด้วย ความดันอย่างเกิน 25% จะให้ความหมายผิวเผือกและ ความหนาน้ำค่ามากที่สุด

Table 1 Effect of N₂ partial pressure on the morphology of CrN thin films

P_{N_2} (%)	Crystal size (nm)	R_s (nm)	Thickness (nm)
25%	30	37	2070
50%	31	20	1440
75%	36	18	1160

งานวิจัยนี้สามารถเดาเรียมฟิล์มบางโครงเมียมในโทรศัพท์มือถือได้ด้วยเทคนิค XRD พบรูปแบบการเลี้ยวเบนรังสีเอกซ์ที่มุม 31.7° , 63.6° และ 76.2° ซึ่งตรงกับโครงเมียมไดร์ที่รับน้ำ (111), (220) และ (311) เมื่อความดันย่อยแก๊สในตัวเจจนเพิ่มขึ้นผิดไปที่ฟิล์มมีความเป็นผลึกสูงขึ้น โดยรับน้ำ (111) มีความเส้นผ่าศูนย์กลางลดลงและลักษณะพื้นผิวของฟิล์มบางโครงเมียมนี้ได้รับความค่าในช่วง 30 nm ถึง 36 nm และลักษณะพื้นผิวของฟิล์มบางโครงเมียมที่เคลือบได้มีอัตราการเติบโตเร็วๆ อย่างมากโดยใช้เทคนิค AFM พบร่วมฟิล์มบางโครงเมียมในโทรศัพท์มือถือที่เหลือบด้วยความดันย่อยแก๊สในตัวเจจน 25% การจัดเรียงของผลึกเมเยร์เนาขนาดใหญ่กว่าเดิมที่มีความกว้างช่วง 1160 nm ถึง 2070 nm และค่าความหนาแน่นของผลึกเมเยร์เนาในช่วง 18 nm ถึง 37 nm เป็น 50% และ 75% พบร่วมกันว่าขนาดเล็กลงและฟิล์มบางโครงเมียมในโทรศัพท์มือถือที่เหลือบได้มีความหนาในช่วง

เอกสารอ้างอิง

- Bertrand, G., C. Savall and C. Meunier. 1997. Properties of reactively RF magnetron sputtered chromium nitride coatings. *Surface & Coatings Technology* 98: 323-329.
- Broszeit, F., C. Friedrich and G. Beigl. 1999. Deposition, properties and applications of PVD Cr_xN coatings. *Surface and Coatings Technology* 115: 9-16.
- Fornies, E., R. Escobedo, R. Galindo, O. Sánchez and J.M. Albella. 2006. Growth of CrN_x films by DC reactive magnetron sputtering at constant N₂/Ar flow. *Surface & Coatings Technology* 200: 6047-6053.
- Kyung Nam, H., J. Min Jung and G. Jeon Han. 2000. A study on the high rate deposition of CrN_x films with controlled microstructure by magnetron sputtering. *Surface & Coatings Technology* 131: 222-227.
- Liua, C., A. Leyland, S. Lyond and A. Maitiwaa. 1995. Electrochemical impedance spectroscopy of PVD-TiN coatings on mild steel and AISI316 substrates. *Surface and Coatings Technology* 76-77: 615-622.
- Zenghu, H., T. Jiawan, L. Qianxi, Y. Xiaojiang and L. Geyang. 2003. Effect of N₂ partial pressure on the microstructure and mechanical properties of magnetron sputtered. *Surface and Coatings Technology* 162: 189-193.
- Zhang, Z.G., O. Rapaud, N. Bonasso, D. Merics, C. Dong and G. Coddet. 2008. Control of microstructures and properties of dc magnetron sputtering deposited chromium nitride films. *Vacuum* 82: 501-509.



มหาวิทยาลัยเกษตรศาสตร์

ขอรับรองว่าผลงานวิจัย

เรื่อง

ผลของความดันย่อยแก๊สในโตรเจนต่อโครงสร้างของฟิล์มบางโครเมียมในไตรด์
ที่เคลือบด้วยวิธี รีแอคติฟ ดีซี เมกนีตรอน สปตเตอริง

โดย

กรรณิการ์ วรรณทวี นิรันดร์ วิหิดอนันต์ และสุรศิริ ไชยคุณ

ได้ผ่านการพิจารณาจากคณะกรรมการผู้ทรงคุณวุฒิ

สาขาวิทยาศาสตร์

๒๕๕๗ นี้ ในการประชุมทางวิชาการของมหาวิทยาลัยเกษตรศาสตร์ ครั้งที่ 49
ระหว่างวันที่ 1 - 4 กุมภาพันธ์ 2554

(รองศาสตราจารย์ ดร. พนิต เอ็มทอง)

รองอธิการบดีฝ่ายวิชาการ

ประธานคณะกรรมการดำเนินงานจัดประชุมทางวิชาการ ครั้งที่ 49

ជ្រើនទំនាក់ទំនងគុណភាពបានមានវិទ្យាលីកសេដ្ឋកិច្ច

សាខាវិទ្យាសាស្ត្រ

1. อุปกรณ์	สีริชัย์	2. ผู้ดูแล	เบสี	3. กรรมบิล	วงศ์สาคร
ภาควิชาคณิตศาสตร์ หน่วยที่ ๗ ภาษาศาสตร์					
๔. พวงมาลัย	สุวรรณรัตน์	๕. นาฬิกา	อรัญญา	๖. สัตตหะ	นิติช
๘. ฟูจิลิ๊ค	สงวนเรือง	๙. ชาตินาที	เชิงภานุวัฒน์	๑๐. ระวีเดชา	รัชดา
๑๒. ซีรีบันท์	ภราพนิติ	๑๓. ทีโน่กี้	ธาราที	๑๔. *	บัวลักษณ์
๑๖. รีรูจูรา	แก้ววัชระ	๑๗. ลลิตา	บุญธรรม	๑๘. ท้าวอนุรัตน์	พากลศรี
๒๐. บุญเตชะ	อุรุพัฒน์	๒๑. เพ็ทตี้	บุญราษฎร์สิง	๑๙. ภัคกร	ภานุวัฒน์สุข
ภาควิชาจุลทรรศน์ คณิตศาสตร์					
๒๒. กรณ์พาร์ต์	ตามหาดี	๒๓. รองดี้	ศักดิ์เมืองวงศ์	๒๔. บันดา	สีรุจ
๒๖. มนูหะ	นิจันต์มงคล	๒๗. ปริญญา	ศิริโจน	๒๘. ปันฤทธิ์	ศิริโชค
๓๐. เป้-งา	คปภาน	๓๑. วีซึ้ง	กิจศิริชานนท์	๓๒. ภรรณา	นาดาวัณร์
๓๔. ลาวัลล์	รุ่มพ่อง	๓๖. ธรรมรรถ	น้ำใจกลมเหล็ก	๓๖. เจริญ	ไพรัตน์
๓๘. สุรัส	ธีรวาธ	๓๙. เอฟ	เจริญกิจมงคล	๓๗. *	เจริญศิริกานต์
ภาควิชาเคมี คณิตศาสตร์					
๔๐. มนาร์บ	พาราณสุก	๔๑. ประพันพ์	คงดี	๔๒. ใบลิตา	ฯยรบ.เรียม
๔๔. นรัดตน	บุญญาติ	๔๕. ลุนนา	รัตน์โก	๔๖. นรุจนา	สันติราษฎร์พิพัฒ์
๔๘. ศรีภัสส์	อุณห์สัก			๔๗. ราตรี	วีรบูรณ์
ภาควิชาพอกุณลักษณ์ คณิตศาสตร์					
๔๙. คงพล	อุรุพัฒน์	๕๐. ประภาลักษณ์	เก็บะเนย	๕๑. ครรภ์	อุรุพัฒน์
๕๓. แม่ค่า	เพ็งกา	๕๑. ลุรุษา	อับดิลลัมบ์	๕๒. ครรภ์	อุรุพัฒน์
ภาควิชาพืชศาสตร์ คณิตศาสตร์					
๕๕. แม่ฟ้าที่	อธิรักษ์	๕๖. ลูกปี๊	ปิยะพิริยาภุค	๕๗. ประดิษฐ์	แสงเทียน
๕๙. ช้างเผือก	ชั้นตราสัญลักษณ์	๕๗. วี	หนรัตน์ภูรุษ	๕๑. เลิกลักษณ์	ธีร์
ภาควิชาฟิสิกส์ คณิตศาสตร์					
๖๓. พวงกร	ขันท์เรือง	๖๔. นัทกร	ธัชระแคน	๖๕. ฤทธิ์	เชิงภา
๖๗. รีลัคบ์	รุกข์กันต์เมือง	๖๘. นรี	บุญเข้าห์	๖๙. บทปูรณะ	อุทัยศรี
๗๑. รีรัน	พานิชภัณฑ์	๗๒. ลุนนิศา	หรรษาพงษ์ภานุ	๗๓. จิตาเวช	ฉะเชิงบ้านเมือง
๗๕. ชัมป์	เหลืองธรรษฐ์	๗๖. เอ็มพัลล์	กุญจน์บดี	๗๗. ดวงตาเดี่ยว	วีระภานภัณฑ์
๗๙. มรรลี	สกุลชัยภัณฑ์	๗๘. ลูกปี๊	พิมพ์ธรรมานุ	๘๑. จิรศักดิ์	วังเขื่อนพุ่ง
๘๓. วันพันบุ๊	พรอั้น	๘๔. เอ็มพัลล์	พุ่มไวรัตน์		๘๒. เอเชิลล์
ภาควิชาชีววิทยา คณิตศาสตร์					
๘๕. บุญรักษ์	สีริบิริยา	๘๖. ตั๊กๆ	ยอดภูก	๘๗. บีลอน	เรืองพิเศษพงษ์
ภาควิชาลักษณะ					
๙๙. กัลล์บาร์นี่	กันต์ธนิชา	๙๐. จันทรารณ์	ลีรัชดาภิเศก	๙๑. บุญเตี้ย	รุจันกิจารัตน์
๙๓. เกียร์รัน	กันน์ภารา	๙๔. ปิมมา	ทักษิณรุวน	๙๕. ลักษณ์	วีร์เสบีร์
๙๗. เยลาส์ตัน	กุบินทร์พัชร์กุล	๙๘. สะนํ	แก้ววิชัย	๙๙. หนล	ธรรมรัตน์ลิ้ม
๑๐๑. ลีนท์ทีบี	กรานท์สุรัช	๑๐๒. บุญเตี้ย	เมษธน	๑๐๓. ศักดิ์ภานุ	วีรบดินทร์บันลือ
๑๐๕. บุญลุศรี	บุญลุศรี	๑๐๖. วี-แพล	ลักษณ์		๘๒. เอเชิลล์
ภาควิชาชีววิทยาศาสตร์ที่รวมแล้ว คณิตศาสตร์					
๑๐๗. ศุภวิทย์	สอนภานุชชู	๑๐๘. ลัมบานา	มัธจัง	๑๐๙. ภูติชา	รุ่งรัตน์บุลัง
๑๑๑. ประไพภัทร์	พัชร์ภัณฑ์ภานุ	๑๑๒. ปีรีภานัน	สมพันธ์	๑๑๓. รีริตา	ชัยชนะ
ภาควิชาคณิต คณิตศาสตร์					
๑๑๔. นิติพญา	กวีรัตน์	๑๑๕. วี-	โพธิ์สุรัตน์	๑๑๖. ล่าไฟ	ทองธีรภานุ
๑๑๘. บุญลุศรี	ไม้				๑๑๗. ประดิษฐ์
๑๑๙. บุญลุศรี	สรวิษาภูมิ				๑๑๘. พีรพงษ์
๑๒๐. นันท์ภา	หาดใหญ่				๑๑๙. ภานุรัตน์
๑๒๑. บุญรุษณ์	สุกานนท์ชัย				๑๒๐. นันท์ภา
๑๒๒. นันท์ภา	ศรีสุขภัณฑ์				๑๒๑. ภานุรัตน์
๑๒๓. นันท์ภา	สุกันทร์				๑๒๒. ภานุรัตน์
๑๒๔. นันท์ภา	อุบลรัตน์				๑๒๓. ภานุรัตน์

ผู้ทรงคุณวุฒิภายนอกมหาวิทยาลัยเกษตรศาสตร์

สาขาวิชาภาษาไทย

1. ทูน-ชีวิ ศุภารัตน์
 2. อุ่น-มาคร์ มนต์พิมล
 3. ล่าว-บุญ ลวนดีชัยพร
 4. กรณ์- วงศ์พันธุ์สกุล

ข้าราชการบำนาญ ภาคใต้รักษาลักษณะเดิม
ข้าราชการบำนาญ ภาคใต้รักษาลักษณะเดิม และให้ได้ตามใหม่ คณบดีสถาบัน
ข้าราชการบำนาญ ภาคใต้รักษาลักษณะเดิม และให้ได้ตามใหม่ คณบดีสถาบัน